

УДК 533.6.08

В.І. Турик, канд. техн. наук

НТУУ «Київський політехнічний інститут»,

В.В. Бабенко, д-р техн. наук,

В.А. Воскобойник, канд. техн. наук,

А.В. Воскобойник, канд. техн. наук

Інститут гідромеханіки НАН України, г. Київ

## ВИХРЕВОЕ ДВИЖЕНИЕ В ПОЛУЦИЛИНДРИЧЕСКОЙ КАНАВКЕ НА ПЛАСТИНЕ

Отримані поля швидкості дали змогу зафіксувати у канавці великокамасштабний вихор та серію характерних дрібномасштабних вихорів. Встановлено, що при збільшенні швидкості обтікання число дрібномасштабних вихрових структур збільшується, а розмір великокамасштабного вихору зменшується та він притискається потоком більше до придонної частини канавки.

The velocity fields are got enabled to fix a large-scale vortex and series of characteristic small-scale vortices in the slot. It is set that at the increase of flow velocity the number of small-scale vortical structures is increased, and the size of large-scale vortex decreases and he pressing the flow near-bottom part of the slot.

### Введение

Обтекаемые поверхности многих конструкций имеют углубление разнообразной конфигурации и формы. Среди них можно выделить гидротехнические сооружения с технологическими нишами, на которые действует течение и волновое движение в открытом море и вблизи берегов, углубления конструктивного или случайного характера, расположенные на корпусах подводных и надводных судов, колодцы шасси и грузовые люки на самолетах, корпуса устройств коррекции траектории движения на космических аппаратах и в других конструкциях [1]. В зависимости от режимов обтекания и геометрических параметров таких неоднородностей, внутри них формируются сложные вихревые течения, которые могут привести к увеличению сопротивления тел, шума и вибраций [2, 3]. Повышенный интерес к использованию, например, сферических углублений небольшой глубины связан также с тем, что спортивные снаряды плохо обтекаемой формы, которые имеют на своей поверхности элементы шероховатости в виде углублений, пролетают большее расстояние. На хорошо обтекаемых поверхностях аппаратов в энергосберегающих технологиях используются системы углублений с целью генерации вихревых структур, что существенно увеличивает тепломассоперенос и процессы перемешивания, а также уменьшает низкочастотный гидродинамический шум и вибрации. В теплоэнергетике широко используются поверхности с системами углублений, что на практике позволило улучшить их теплогидравлическую эффективность [3–5].

Результаты экспериментальных и численных исследований показывают, что вихревое движение в локальном

углублении, расположенном на обтекаемой поверхности, является крайне сложным [3–7]. В зависимости от геометрических параметров углубления и режимов его обтекания внутри углубления формируется циркуляционное течение, генерируются крупномасштабные когерентные вихревые структуры и мелкомасштабные вихри, которые взаимодействуют как друг с другом, так и с обтекаемой поверхностью. При достаточно высоких скоростях потока с передней кромки углубления отрывается пограничный слой, формируя сдвиговый слой, часть которого в результате действия сил вязкости и инерции сворачивается в вихревые структуры и, взаимодействуя с внутренним вихревым движением в углублении, интенсифицирует турбулентность потока над ним. Ударное взаимодействие вихревых структур сдвигового слоя с кормовой стенкой углубления порождает мощные пульсации скорости и давления, инициирует осцилляции потока как внутри лунки, так и в ее окрестности, порождая резонансные колебания внутри отверстия углубления. Выброс вихревых систем наружу из обтекаемого углубления и их взаимодействие с набегающим потоком образует интенсивные поля пульсаций векторных и скалярных переменных течения, передающиеся в окружающее пространство, в том числе и на обтекаемую поверхность.

### Постановка задачи исследований

Несмотря на интенсивное развитие численных методов, ключевую роль в исследовании сложных турбулентных вихревых течений играет эксперимент. Чаще всего новые теоретические положения и гипотезы строятся именно на основе полученной в экспериментах информа-

мации. В связи с этим в представленной работе ставится задача экспериментальных исследований особенностей структуры поля скорости внутри локального полуцилиндрического углубления, поперечно обтекаемого потоком при разных режимах обтекания.

## Экспериментальная установка

Для проведения экспериментальных исследований была создана дозвуковая аэродинамическая труба незамкнутого типа [8, 9], в которой исследовалось вихревое течение в одиночном поперечно обтекаемом полуцилиндрическом углублении диаметром  $d = 0,0185 \text{ м}$ , глубиной  $0,0115 \text{ м}$  и длиной  $0,081 \text{ м}$ . Аэродинамическая труба имела внутренний диаметр  $0,102 \text{ м}$  и работала на всасывание воздуха из лабораторного помещения (рис. 1). Перед измерительным участком, где монтировалась пластина с углублением, размещался входной участок длиной  $0,4 \text{ м}$  и диаметром  $0,102 \text{ м}$ . Входной участок начинался с воздухозаборника длиной около  $0,1 \text{ м}$ , спрофилированного по закону лемнискаты, обеспечивающей безотрывный вход воздушного потока в аэродинамическую трубу с достаточно равномерным профилем скорости и давления. При монтаже аэродинамического стенда все узлы и системы устанавливались на вибродемптирующих и виброизолирующих креплениях и прокладках, в том числе типа «сэндвич». При этом использовались как активные (динамические), так и пассивные методы уменьшения акустических и вибрационных помех. В результате удалось достичь приемлемых условий проведения экспериментальных исследований с достаточно высокой степенью точности и повторяемости результатов.

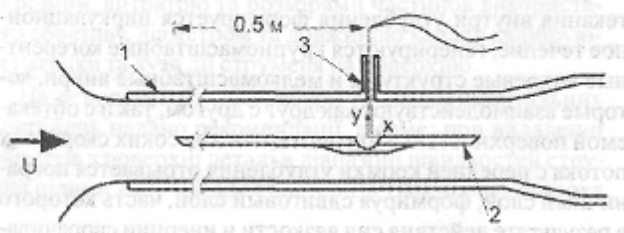


Рис. 1. Схема рабочего участка аэродинамической установки и системы координат:

1 — рабочий участок; 2 — пластина с полуцилиндрической канавкой; 3 — державка с проволочным датчиком термоанемометра.

Гидравлически гладкая пластина толщиной  $0,004 \text{ м}$  имела длину  $0,635 \text{ м}$  и ширину  $0,102 \text{ м}$ , передний и задний ее концы были заострены, чтобы убрать зоны отрыва пограничного слоя. Пластина монтировалась в осевом сечении прозрачного измерительного участка аэродинамической трубы вдоль ее продольной оси (рис. 1). Продольная ось поперечно обтекаемой полуцилиндрической канавки размещалась на расстоянии  $0,514 \text{ м}$  от переднего края пластины. Развитие пограничного слоя вдоль исследуемой пластины было естественным, без использования турбулизаторов в носовой части пластины. Измерения проводились при числах Рейнольдса  $Re = U_{\infty} x / v = (0,37-6,7) \cdot 10^5$  и толщине пограничного слоя перед углублением  $\delta/d = (0,162-0,703)$ .

Это дало возможность исследовать ламинарный и турбулентный режимы обтекания пластины с локальным углублением. Интенсивность турбулентности для наибольшей скорости потока не превышала ( $3-4\%$ ) в месте расположения углубления на пластине.

Поле скорости над обтекаемой поверхностью и вне углубления измерялось с помощью однодиодного проволочного датчика, подключаемого к мостовой электрической схеме термоанемометра постоянной температуры фирмы DISA. На верхней поверхности прозрачного измерительного участка аэродинамической трубы в специально созданном отверстии устанавливалось координатное устройство, в котором через соответствующие державки и узлы креплений фиксировались проволочные термоанемометрические датчики (рис. 1). Электрические сигналы с проволочных датчиков поступали на контрольно-измерительную аппаратуру (вольтметры, осциллографы, частотомеры), а также аппаратуру регистрации данных (четырехканальный измерительный магнитофон). Зарегистрированные сигналы обрабатывались на специализированных комплексах спектрального и корреляционного анализа, а также через аналогово-цифровые преобразователи подавались на персональные компьютеры, где данные обрабатывались и анализировались по разработанным программам и методикам. Калибровка и тарировка термоанемометрических датчиков проводилась перед, во время и после окончания измерений как абсолютным, так и относительным методами. Калибровочные зависимости зарегистрированных параметров использовались при обработке и анализе экспериментальных результатов. Погрешность измерений осредненных характеристик поля скорости не превышала  $10\%$  с надежностью  $0,95$  или  $2\sigma$ .

Исследования начинались с проведения визуализации потока как в углублении, так и в его окрестности [8]. Картинны визуализации и динамика вихревого движения внутри углубления и вблизи него регистрировались скоростными кинокамерами, цифровыми фотоаппаратами и видеокамерами с последующей обработкой и анализом фото- и видеоматериала на персональных компьютерах, оснащенных специально разработанным программным обеспечением. Затем в характерных областях, где вихревое движение среды прослеживается отчетливо, проводились инструментальные измерения с определением количественных параметров вихревого течения.

## Результаты измерений

В ходе экспериментальных исследований полей осредненных и пульсационных скоростей как в продольном, так и поперечном направлениях были получены векторные поля средних скоростей. В результате построены изотахи, или линии равных скоростей, определяющие кинематические характеристики поля течения над исследуемой пластиной с углублением для разных скоростей обтекания. На изолиниях, представленных на рис. 2-4, цифрами обозначена средняя скорость относительно скорости набегающего потока в процентах, а выносные цифры указывают на характерные зоны в углублении, которые трактуются как места существования квазистацических вихревых явлений в окрестности углубления.

вих систем. Кроме того, на этих рисунках указаны значения скоростей обтекания и чисел Рейнольдса, определенных по внешним переменным ( $U_\infty$  и  $v$ ) для местоположения углубления по длине пластины и по диаметру углубления, а именно как  $Re_x$  и  $Re_d$ .



Рис. 2. Лінії рівних середніх швидкостей на пластині з поперечною розташованою полуциліндрическою увігнуванням при швидкості набегаючого потока  $1,11 \text{ м/с}$ .

Изотахи для наименьшей из исследуемых скоростей обтекания  $U_\infty = 1,11 \text{ м/с}$  показаны на рис. 2 для  $Re_x = 3.7 \cdot 10^4$  и  $Re_d = 1360$ . Над обтекаемой пластиной и углублением отчетливо видны области торможения и ускорения набегающего потока, которые охватывают не только пограничный слой над пластиной и сдвиговый слой смешения, а также циркуляционную область в самом углублении. Перед тем, как пограничный слой оторвется от переднего края углубления, он несколько затормаживается. Торможение хорошо видно по подъему, например, изолинии скорости, равной  $0.2U_\infty$  перед точкой отрыва. При отрыве пограничного слоя образующийся слой смешения расширяется в поперечном направлении при продвижении вниз по потоку. Нижняя граница слоя смешения, также как и верхняя ее часть, имеют волнобразную форму, которая почти за три периода перекрывает ширину канавки. Длина волн нижней границы слоя смешения в передней части углубления в два раза меньше, чем в кормовой, что коррелирует с данными для профилей продольной средней и пульсационной скорости, представленных в работах [4, 9]. В области взаимодействия слоя смешения с кормовой стенкой углубления образуются два направления движения потока. Первая часть устремляется вверх к краю углубления, а вторая вдоль стенки переносится ко дну углубления. Первая часть, встретившись с вышерасположенным относительно слоя смешения ( $y = 0$ ) потоком, приводит к торможению и некоторому подъему последнего, что видно на рис. 2 (сечение с координатой  $x \approx 0.4d$ ). Вторая часть слоя смешения (нижняя), устремившаяся ко дну углубления, поднимается вверх вдоль передней стенки углубления, доходя до зоны отрыва пограничного слоя и, встретившись с оторвавшимся пограничным слоем, объединяется с вновь формируемым слоем смешения и направляется к кормовой стенке углубления. Эта часть слоя смешения образует циркуляционную зону, внутри которой формируется первичный вихрь, обозначенный на рис. 2 цифрой 1. В ядре этого вихря средние скорости не превышают значения  $0.005U_\infty$ . Первичный вихрь зани-

має почти половину объема углубления и располагается несколько наклонно по отношению к продольной оси пластины или направления скорости обтекания.

На кормовой стенке углубления формируется характерная зона, обозначенная цифрой 2. Вблизи этой зоны имеет место седловая точка, или точка, где появляется раздвоение изолинии, например, кривая  $0.06U_\infty$  (см. рис. 2). С приближением к зоне 2 средняя скорость падает, указывая на местоположение мелкомасштабной вихревой структуры, наиболее вероятно — пары противоположно вращающихся вихрей. Цифрой 3 отмечена очередная замкнутая область низкоскоростного течения в углублении, характеризующая зону зарождения вторичного вихря.

Таким образом, при малой скорости обтекания  $U_\infty = 1,11 \text{ м/с}$  в полуцилиндрическом углублении обнаружены три относительно устойчивые области низкоскоростного циркуляционного течения, которые сформированы, главным образом, в придонной и кормовой частях углубления. Зарегистрировано высокоскоростное циркуляционное течение, направленное от кормовой стенки углубления и вдоль придонной поверхности до точки отрыва пограничного слоя. Замыкается это циркуляционное течение объединением с вновь формируемой нижней границей слоя смешения, который, совершая волнообразное движение, взаимодействует, в свою очередь, с кормовой стенкой углубления.

При увеличении скорости обтекания пластины с поперечно расположенной полуцилиндрической канавкой характерные черты структуры течения в целом остались схожими с результатами для  $U_\infty = 1,11 \text{ м/с}$ , но появились и некоторые отличия. Так, скорость потока, достигающего верхнего края кормовой стенки, возросла с  $0.2U_\infty$  до  $0.6U_\infty$  (рис. 2 и 3), кинетическая энергия взаимодействия набегающего потока с кормовым краем углубления значительно увеличилась, поскольку она пропорциональна квадрату скорости. Циркуляционную область также начинает формировать возвратный поток с более высокой скоростью. При низкоскоростном обтекании углубления в его кормовой части наибольшие скорости составляли порядка 6 % от  $U_\infty$  (рис. 2), а при  $U_\infty = 10,1 \text{ м/с}$  местные средние скорости в этой же кормовой части превышали 30 % от  $U_\infty$ , и, естественно, энергообмен между набегающим потоком и циркуляционным течением в углублении в последнем случае, несомненно, возрос. С приближением ко дну углубления относительная скорость циркуляционного течения значительно уменьшилась и, не достигнув еще самой нижней точки полуцилиндрического углубления, этот циркуляционный поток начал удаляться от обтекаемой поверхности дна и устремился к нижней границе слоя смешения. Необходимо отметить, что при  $U_\infty = 1,11 \text{ м/с}$  циркуляционное течение достигало зоны отрыва пограничного слоя с переднего края углубления (рис. 2), а при  $U_\infty = 10,1 \text{ м/с}$  циркуляционное течение объединилось со слоем смешения значительно ниже по направлению потока (в сечении  $x \approx -0.3d$ ). Вблизи этого местоположения по координате  $x$  в пограничном слое наблюдалась при-тормаживание потока, а затем его ускорение (рис. 3), коррелируя с данными работы [9]. Ядро низкоскоростной

области имеет форму подковы или буквы *V* (рис. 3), образуя первичный вихрь в углублении, обозначенный цифрой 1. Этот *V*-образный квазистацический крупномасштабный вихрь, ограничивающий циркуляционную зону, занимает почти треть объема углубления, располагается чуть ниже его центральной области и имеет форму вихря, который как бы прогнут почти посередине набегающим потоком.

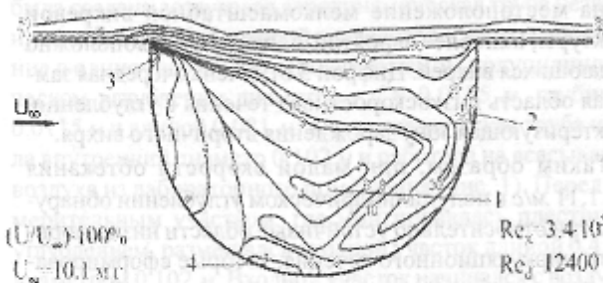


Рис. 3. Линии равных средних скоростей на пластине с поперечно расположенным полуцилиндрическим углублением при скорости набегающего потока 10,1 м/с.

В кормовой части углубления (см. рис. 3) несколько выше, чем на рис. 2, формируется так называемый кормовой вихрь, а возможно, как ранее отмечено, и пара противоположно вращающихся вихрей, которые обозначены цифрой 2. Эта вихревая область является более скоростной, чем на рис. 2. При увеличении скорости обтекания наибольшие изменения структура течения в углублении получила в передней отрывной части канавки. В отличие от рис. 2, на рис. 3 за точкой отрыва просматриваются область заторможенного течения с явно выраженной характерной циркуляционной зоной пониженных средних скоростей. Сразу за точкой отрыва прослеживается квазистацический мелкомасштабный вихрь (цифра 3, рис. 3). В нижней части углубления, в его придонной области, формируется еще одна циркуляционная, или вихревая, область пониженных средних скоростей, образующих ее ядро. Эта область, обозначенная цифрой 4, сосредоточена вблизи местоположения, где высокоскоростное циркуляционное течение отрывается от придонной поверхности углубления и устремляется на объединение со слоем смешения, о чем ранее уже говорилось.

При дальнейшем увеличении скорости обтекания до 20,1 м/с характер структуры потока как в углублении, так и над пластиной не претерпел кардинальных изменений, но стал более сложным. Это проиллюстрировано на рис. 4, но некоторые отличия от картин рис. 3, а тем более рис. 2, имеют место. Во-первых, в кормовой части углубления зарегистрирована характерная вихревая область, обозначенная цифрой 2, расположенная еще выше, чем на рис. 3 и на рис. 2. Во-вторых, высокоскоростное циркуляционное течение оторвалось от дна углубления несколько ниже по потоку, почти непосредственно у нижней точки углубления. Это циркуляционное течение устремилось к слою смешения по более крутой траектории в отличие от дан-

ных рис. 3. В-третьих, крупномасштабный циркуляционный вихрь стал более компактным и принял эллипсообразную форму с наклоном, близким к наклону кормовой части *V*-образного вихря на рис. 3. В-четвертых, в отрывной области углубления появились уже две мелкомасштабные вихревые системы (цифры 3 и 4, рис. 4), и они стали более энергоемкими, то есть, окружная скорость их повысилась. Также следует отметить, что при  $U_{\infty} = 20,1 \text{ м/с}$  повысилась и относительная скорость циркуляционного течения, отделяющего первичный циркуляционный вихрь (обозначенный цифрой 1) от заторможенной отрывной области углубления. В-пятых, область слияния циркуляционного течения с нижней границей слоя смешения переместилась ближе к центру углубления. Здесь в оторвавшемся пограничном слое появился высокий положительный градиент средней скорости от заторможенного к ускоренному течению. Пограничный слой реагирует на эти зоны взаимодействия циркуляционного течения и слоя смешения несколько выше по потоку, создавая зоны торможения и ускорения течения (рис. 3 и 4).

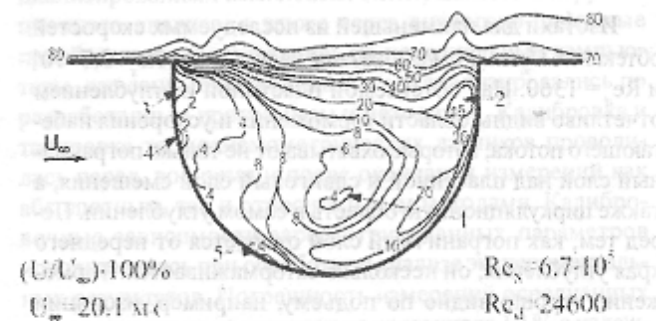


Рис. 4. Линии равных средних скоростей на пластине с поперечно расположенным полуцилиндрическим углублением при скорости набегающего потока 20,1 м/с.

### Выводы

1. Установлено, что с увеличением скорости обтекания внутри канавки формируется сложное вихревое течение, которое приводит к изменению структуры пограничного слоя над пластиной. Над обтекаемой поверхностью образуются зоны торможения и ускорения течения, что особенно явно проявляется в пристеночной области пограничного слоя.

2. Обнаружено, что внутри полуцилиндрической канавки возникает циркуляционное течение, генерируемое взаимодействием сдвигового слоя, образованного при отрыве пограничного слоя с переднего края канавки, с кормовой стенкой канавки. Циркуляционное течение рождает квазистацическую крупномасштабную вихревую структуру. В пристеночной области взаимодействие сдвигового слоя и крупномасштабного вихря с обтекаемой поверхностью генерирует мелкомасштабные вихри.

3. Зафиксировано, что с увеличением скорости набегающего потока число, масштаб и местоположение квазистацических вихревых структур изменяются. Так, их число увеличивается, а размер крупномасштабного когерен-

тного вихря уменьшается, относительная скорость вращения его увеличивается и он перемещается ближе к придонной части углубления.

## Литература

- тного вихря уменьшается, относительная скорость вращения его увеличивается и он перемещается ближе к придонной части углубления.

## Литература

  1. Ермишин, А.В. Управление обтеканием тел с вихревыми ячейками в приложении к летательным аппаратам интегральной компоновки / Под ред. А.В. Ермишина, С.А. Исаева. — М., СПб., 2001. — 360 с.
  2. Смольяков, А.В. Шум турбулентных потоков. — СПб.: ЦНИИ им. Акад. А.И. Крылова, 2005. — 312 с.
  3. Гортышов, Ю.Ф. Теплогидравлическая эффективность перспективных способов интенсификации теплоотдачи в каналах теплообменного оборудования / Ю.Ф. Гортышов, И.А. Попов, В.В. Олимпиев, А.В. Щелчков, С.И. Каськов. — Казань: Центр инновационных технологий, 2009. — 531 с.
  4. Афанасьев, В.Р. Гидродинамика и теплообмен при обтекании одиночных углублений на исходно гладкой поверхности / В.Р. Афанасьев, В.Ю. Веселкин, А.И. Леонтьев и др. — Препр. МГТУ им. Н.Э. Баумана № 2-91. Ч. I. —
  5. Халатов, А.А. Теплообмен и гидродинамика около поверхностных углублений (лунок) / А.А. Халатов — К.: ИТТФ НАН Украины, 2005. — 76 с.
  6. Бабенко, В.В. Визуализация обтекания полусферических углублений / В.В. Бабенко, В.П. Мусиенко, В.Н. Турик, Д.Е. Милюков // Прикладна гідромеханіка. — 2010. — 12, № 4. — С. 3—25.
  7. Коваленко, Г.В. Границы режимов течения в углублениях на плоской поверхности, имеющих форму сферических сегментов / Г.В. Коваленко, А.А. Халатов // Прикладна гідромеханіка. — 2008. — 10, № 1. — С. 23—32.
  8. Бабенко, В.В. Генерация вихрей в локальных углублениях / В.В. Бабенко, В.А. Воскобойник, В.Н. Турик, А.В. Воскобойник // Вісник Донецького Університету, Сер. А: Природничі науки. — 2009. — Вип. 2. — С. 33 — 40.
  9. Турик, В.М. Кінематичні особливості примежового шару поблизу напівциліндричної каверни на пластині / В.М. Турик, В.В. Бабенко, В.А. Воскобойник, А.В. Воскобойник // Вісник НТУУ «КПІ». — Машинобудування. — 2010. — Вип. 59. — С. 110—117.

5. Халатов, А.А. Теплообмен и гидродинамика около поверхности углублений (лунок) / А.А. Халатов — К.: ИТТФ НАН Украины, 2005. — 76 с.

6. Бабенко, В.В. Визуалізація обтекання полуспрощених куполів / В.В. Бабенко, В.П. Мусиенко, В.Н. Турік, Д.Е. Милоков // Прикладна гідромеханіка. — 2010. — 12, № 4. — С. 3—25.

7. Коваленко, Г.В. Границы режимов течения в углублениях на плоской поверхности, имеющих форму сферических сегментов / Г.В. Коваленко, А.А. Халатов // Прикладна гідромеханіка. — 2008. — 10, № 1. — С. 23–32.

8. Бабенко, В.В. Генерация вихрей в локальных углублениях / В.В. Бабенко, В.А. Воскобойник, В.Н. Турик, А.В. Воскобойник // Вісник Донецького Університету, Сер. А: Природничі науки. — 2009. — Вип. 2. — С. 33 — 40.

9. Турик, В.М. Кінематичні особливості примежово-го шару поблизу напівциліндричної каверни на пластині / В.М. Турик, В.В. Бабенко, В.А. Воскобійник, А.В. Воскобійник // Вісник НТУУ «КПІ». — Машинобудування. — 2010. — Вип. 59. — С. 110—117.